

# سنتر و به کار گیری کلروسولفونیل کالیکس[۴]آرن تثبیت شده بر روی سیلیکاژل به عنوان واکنشگر جابه جایی شیمیایی در NMR

زهرا ثروتی<sup>۱</sup>، ماندانا صابر تهرانی<sup>۲\*</sup>، سعید تقواوی<sup>۱</sup> گنجعلی<sup>۱\*</sup>

دانشکده شیمی، واحد تهران شمال، دانشگاه آزاد اسلامی، تهران، ایران

رضاح زادمرد

پژوهشگاه شیمی و مهندسی شیمی ایران، تهران، ایران

**چکیده:** در این پژوهش، نخستا کلروسولفونیل کالیکس[۴]آرن تثبیت شده بر روی سیلیکاژل ( $CSC[4]A-SiO_2$ ) سنتر شد و سپس به کمک آن طیف های  $^1H$ -NMR مربوط به سه ترکیب شیمیایی مورد استفاده در صنعت لاستیک سازی مانند: دی فنیل گوانیدین (DPG) - سیکلوهگزیل - ۲ - بنزو تیازول سولفونامید (CBS) و ۲ - مرکاپتو بنزو تیازول (MBT) مورد مطالعه قرار گرفت. نتیجه های به دست آمده نشان داد کلروسولفونیل کالیکس[۴]آرن تثبیت شده بر روی سیلیکاژل برای دی فنیل گوانیدین و N - سیکلوهگزیل - ۲ - بنزو تیازول سولفونامید (به عنوان شتاب دهنده در تولید ترکیب های صنعت لاستیک سازی مورد استفاده قرار می گیرند) به عنوان یک واکنشگر جابه جایی شیمیایی عمل کرده است که این امر به دلیل برهمن کنش های الکترواستاتیک و پیوندهای هیدروژنی بین گروه های هیدروکسیل حلقة کالیکس[۴]آرن و گروه NH در مولکول های DPG و CBS اتفاق می افتد. به نظر می رسد که اندازه مولکول مهمان در این بر همکنش نقش اساسی بازی می کند.

**واژه های کلیدی:** کلروسولفونیل کالیکس[۴]آرن تثبیت شده بر روی سیلیکاژل؛ دی فنیل گوانیدین؛ N - سیکلوهگزیل - ۲ - بنزو تیازول سولفونامید؛ ۲ - مرکاپتو بنزو تیازول؛ واکنشگر جابه جایی شیمیایی NMR

**KEYWORDS:** Bonded Chlorosulfonyl -Calix[4]arene to silica; Diphenylguanidine; N-Cyclohexyl-2-benzothiazolesulfenamide; 2-Mercaptobenzothiazole; NMR shift reagent.

## مقدمه

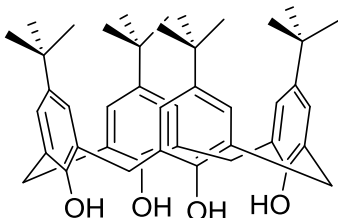
از یکدیگر در یک مخلوط راسمیک می باشد. جداسازی اننتیومرها از یکدیگر در صنایع داروسازی، صنایع غذایی، آفت کش ها، زیستی و علوم جداسازی بسیار دارای اهمیت می باشد. بهطور نمونه یکی از بزرگترین مشکل ها در صنایع داروسازی تعیین مقدار اننتیومرها ناخواسته در مواد خام دارویی می باشد. بیشتر تنها یکی از اننتیومرها

گاهی طیف NMR<sup>(۱)</sup> یک ترکیب آلوی و یا بخشی از آن به دلیل شباهت بسیار زیاد دسته ای از پروتون ها به یکدیگر به تقریب غیرقابل برداشت است. یکی از روش هایی که می تواند چنین وضعی را ساده تر کند، استفاده از واکنشگرهای تغییر مکان شیمیایی است. از دیگر کاربردهای واکنشگرهای تغییر مکان شیمیایی جداسازی اننتیومرها

+E-mail: msabertehrani@gmail.com ; s-taghvaei@iau-tmb.ac.ir

\* عهده دار مکاتبات

(۱) Nuclear Magnetic Resonance



شکل ۱- ساختار مولکولی پارا - ترشیوبوتیل کالیکس [۴] آرن.

ثبت شده بر روی سیلیکاژل سنتز شد سپس به عنوان واکنشگر جابه جایی شیمیایی طیف  $^1\text{H-NMR}$ <sup>(۱)</sup> تعدادی از شتابدهندها از محلول که در صنعت لاستیکسازی مورد استفاده قرار می گیرند به کار گرفته شد. CSC[4]A-SiO<sub>2</sub> رفتار متفاوتی نسبت به این افزودنی های شیمیایی صنعت لاستیکسازی نشان داد. سیلیکای عامل دار شده به عنوان واکنشگر جابه جایی شیمیایی در بررسی طیف  $^1\text{H-NMR}$  ترکیب های DPG و CBS برای اولین بار در این مطالعه مورد بررسی قرار گرفت.

## بخش تجربی

### مواد

همه مواد مورد استفاده در این مطالعه از شرکت مرک تهیه شدند. حلال ها نیز از شرکت مرک تهیه شدند. سیلیکاژل ۶۰ (با اندازه ذره ها ۴۰ - ۲۲۰ مش) از شرکت فلوکا تهیه شد. مواد شیمیایی صنعت لاستیکسازی مانند DPG ، CBS و MBT (شکل ۲) از نمونه های تجاری مورد استفاده در شرکت ایران یاسا تهیه شدند. به علت حساس بودن واکنش ها، پیش از هر آزمایش کلیه لوازم شیشه ای شسته و تمیز شده و پیش از استفاده به کمک شعله خشک شد و پس از سردسازی در دیسیکاتور، نیتروژن از درون آن ها عبور داده شد [۵۱].

### دستگاه ها

طیف های  $^1\text{H-NMR}$  توسط طیفسنج Bruker Avance با قدرت ۴۰۰ MHz و با استفاده از حلال DMSO-d<sub>6</sub> گزارش شده است.

### سنتز معرف جابه جایی شیمیایی (CSC[4]A-SiO<sub>2</sub>)

پارا ترشیوبوتیل کالیکس [۴] آرن (۲)، کلروسولفونیل کالیکس [۴] آرن (۳) و کلروسولفونیل کالیکس [۴] آرن تثبیت شده بر روی سیلیکاژل (۴)

یک ترکیب کایرال رفتار درمانی دارد. درنتیجه ضرورت دارد که خلوص انانتیومری فراوردی نهایی مورد آزمایش قرار گیرد [۱-۸]. چنانی روشن برای تعیین خلوص انانتیومرها براساس تشکیل کمپلکس میزبان - مهمان مورداستفاده قرار میگیرد که میتوان از آن جمله به روشن های MS<sup>(۱)</sup>، فلئورسانس اسپکتروسکوپی [۱۰] CD [۱۱] UV [۱۲] NMR [۱۳-۱۵] و IR<sup>(۲)</sup> ترموگرافی [۱۶] اشاره نمود که از میان این روشن ها، اسپکتروسکوپی NMR فناوری بسیار قوی و کارآمدی برای جداسازی مخلوط های راسmiک می باشد.

کالیکس [n] آرن ها دسته مهمی از ترکیب های ماکروسیکل می باشند که فنجانی شکل بوده و توسط بالا حلقه، پایین حلقه و حلقه های مرکزی مشخص می شود و توانایی تشکیل کمپلکس میزبان - مهمان را با بسیاری از ترکیب ها دارا هستند (شکل ۱). بالا حلقه و پایین حلقه در کالیکس آرن ها توسط گروه های گوناگون می توانند عامل دار شده و مشتق های گوناگونی از کالیکس آرن را ایجاد کنند [۱۸]. این ترکیب ها با استفاده از شیمی میزبان - مهمان [۱۹-۲۴] در جداسازی [۲۵-۳۴]، سنسورها [۳۴-۳۸]، جذب [۳۹-۴۲] و کاتالیستها [۴۳-۴۵] مورد استفاده قرار می گیرند.

از بین متدائل ترین ترکیب های کایرالی که مورد استفاده قرار می گیرند آمینواسیدها [۴۶]، آمینوالکل ها [۴۷]، قندها [۴۸] و گوانیدینیوم [۴۹] می توانند طیف گستره ای از کالیکس [۴] آرن های نامتقارن مناسب را ایجاد کنند.

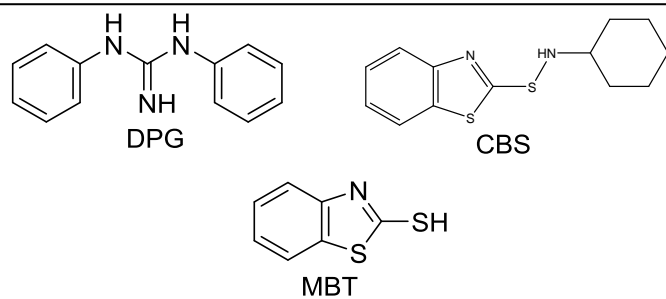
DPG و CBS و MBT به طور گستره ای در صنایع لاستیکسازی به عنوان مواد افزودنی مورد استفاده قرار می گیرند [۵۱]. این مواد شیمیایی در طی فرایندهای ولکانیزاسیون و مرحله های پایانی تولید، وارد محیط زیست می شوند. این ترکیب ها در برابر تخریب شیمیایی و زیستی مقاومت بالایی داشته و بسیار سمی می باشند و می توانند توسط هوا و آب تا مسافت های طولانی جابه جا شوند. این ترکیب ها در آب حلایت بسیار کمی داشته و در چربی ها به خوبی حل می شوند. به همین خاطر بازیابی این مواد سمی از پساب صنایع پیش از ورود آن ها به محیط زیست بسیار دارای اهمیت می باشد.

در این مطالعه ویژگی های کلروسولفونیل کالیکس [۴] آرن تثبیت شده بر روی سیلیکاژل به عنوان واکنشگر جابه جایی شیمیایی در NMR مورد توجه قرار گرفت. نخست کلروسولفونیل کالیکس [۴] آرن

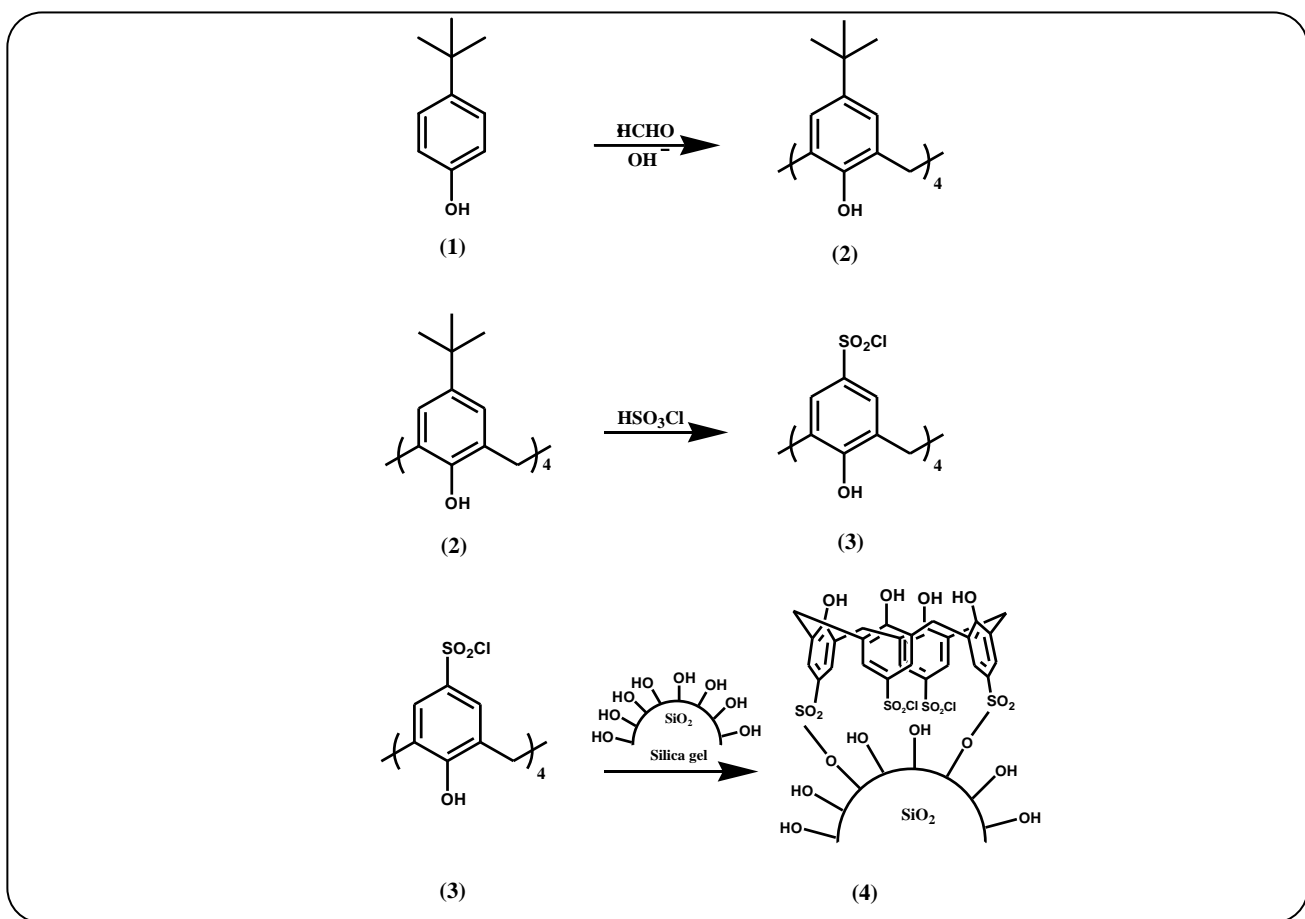
(۱) Mass Spectroscopy

(۲) Ultra Violet

(۳) Infra Red



شکل ۲ - ساختار شیمیایی MBT، CBS، DPG



شکل ۳ - چگونگی ستنتز کلروسولفونیل کالیکس[۴]آرن تثبیت شده بر روی سیلیکاژل از پاراترشیبو بوتیل فنول

کالیکس [۴] آرن، واکنش را باید در حضور سود به عنوان باز و در دمای ۱۵۰–۱۶۰°C انجام داد. فراورده‌ی نهایی پودر سفید رنگ و درخشان کالیکس [۴] آرن می‌باشد. به کمک اندازه‌گیری نقطه ذوب و بررسی TLC ترکیب (۷۰٪ پترولیوم اتر و ۳۰٪ نرمال هگزان) خالص بودن ترکیب تأیید شد. برای ستنتز ترکیب شماره (۳)، از واکنش اپیسو کلروسولفوناسیون

که در شکل ۳ نشان داده شده است با استفاده از روش‌های شناخته شده مورد تأیید ستنتز شد [۵۲–۵۴]. برای تهییه ترکیب شماره (۲) از واکنش تراکمی تک مرحله‌ای بین فنول و فرمالدئید در حضور کاتالیست بازی استفاده شد. به علت آن که در ستنتز کالیکس آرن‌ها، نوع باز مصرفی و میزان گرما در نوع کالیکس آرن تشکیل شده مؤثر است درنتیجه برای ستنتز

برهمکنش قوی با DPG ممکن است در اثر وجود برهمکنش‌های الکترواستاتیکی و پیوندهای هیدروژنی بین گروه‌های هیدروکسیل موجود در پایین حلقه کالیکس [۴] آرن و گروه‌های NH موجود در مولکول‌های CBS و DPG صورت گرفته باشد. از مقایسه طیف  $^1\text{H-NMR}$  مربوط به CSC[4]A-SiO<sub>2</sub> و DPG و مخلوط DPG/CSC[4]A-SiO<sub>2</sub> (شکل ۹) مشخص شد که پیک‌های مربوط به هیدروژن‌های متیلن پل و هیدروژن‌های حلقه آروماتیک CSC[4]A-SiO<sub>2</sub> در محلول جابه‌جایی نداشته‌اند ولی پیک‌های هیدروژن‌های حلقه آروماتیک DPG به سمت پایین جابه‌جا شده است و تغییر مکان شیمیایی آنها افزایش یافته است. همچنین پیک‌های هیدروژن‌های اورتو و پارای حلقه‌ی آروماتیک در طیف  $^1\text{H-NMR}$  مربوط به DPG خالص همپوشانی کرده و بر روی هم می‌افتد در حالی که در طیف مخلوط DPG/CSC[4]A-SiO<sub>2</sub> این دو پیک به طور کامل از یکدیگر تفکیک شده و جدا هستند. به نظر می‌آید که با برقراری پیوند هیدروژنی بین N و OH های حلقه‌ی مولکول کالیکس آرن دو اتفاق می‌افتد. اول این‌که اثر رزونانس دهنده‌ی الکترونی جفت الکترون‌های نیتروژن به حلقه‌های فنیلی در مولکول DPG کاهش یافته درنتیجه سبب می‌شود که همه هیدروژن‌ها نسبت به حالت اولیه ناپوشیده‌تر شده و در δ های بزرگ‌تر ظاهر شوند. نکته دیگر اینکه همین اثر الکترونی موجب جدایی پروتون‌های ناحیه اورتو، متا و پارا شده و درنتیجه مولکول CSC[4]A-SiO<sub>2</sub> به عنوان واکنشگر جابه‌جایی کننده عمل می‌کند. سامانه تریپلت ظاهر شده در ۷/۲۴ ppm مربوط به پروتون‌های ناحیه پارای حلقه فنیلی DPG می‌باشد که البته در ظاهر به دلیل پیچش و حرکت حلقه‌های یاد شده به سمت درون حلقه کالیکس از بقیه هیدروژن‌ها شیلدتر می‌باشند. سامانه شبیه دابلت ظاهر شده در ۷/۳۰ ppm مربوط به هیدروژن‌های ناحیه اورتو و سیستم ظاهر شده در ۷/۴۳ ppm مربوط به هیدروژن‌های متای حلقه DPG می‌باشند.

### بررسی برهمکنش کلروسولفونیل کالیکس [۴] آرن ثبت شده بر روی CBS سیلیکاژل با

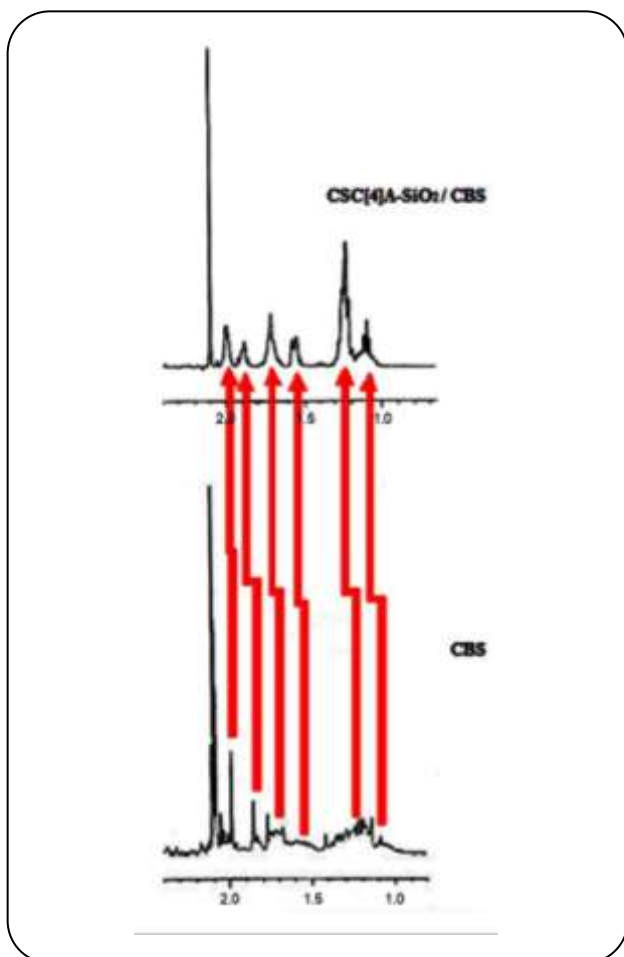
برهمکنش بین CSC[4]A-SiO<sub>2</sub> و CBS نیز از طریق طیفسنجی NMR مورد بررسی قرار گرفت. همه پیک‌های مربوط به پروتون‌های ترکیب CBS و ترکیب CSC[4]A-SiO<sub>2</sub> در مخلوط CBS/CSC[4]A-SiO<sub>2</sub> بدون تغییر باقی مانده بودند و تنها پروتون‌های مربوط به حلقه سیکلوهگزیل ترکیب CBS

روی کالیکس [۴] آرن با استفاده از کلروسولفونیک اسید استفاده شد. به علت واکنش پذیری شدید کلروسولفونیک اسید با رطوبت موجود در هوا و همچنین خورندگی شدید آن، لازم بود که همه مرحله‌های واکنش در جو بی‌اثر انجام گیرد. عامل دیگری که در مقدار بازده واکنش تأثیرگذار بود مدت زمان بازروانی بود که نباید در زمان طولانی انجام شود زیرا در غیر این صورت واکنش‌های جانبی مانند هیدرولیز و پلیمریزاسیون صورت گرفته و مخلوط واکنش سیاه می‌شود که نتیجه آن کاهش بازده واکنش است. در این پژوهش واکنش تک مرحله‌ای ایپسو کلروسولفوناسیون با بازده ۸۰٪ انجام گرفت. CSC[4]A سنتز شده مشتق مناسبی از کالیکس [۴] آرن بود که می‌توانست بدون نیاز به هیچ واکنشگر کویل دهنده سیلانی با گروه‌های سیلانول موجود در سطح سیلیکاژل واکنش شیمیایی انجام دهد و بر روی سطح سیلیکاژل به صورت شیمیایی ثبت شود. به منظور سنتز ترکیب شماره (۴) نخست با استفاده از آون خلام سیلیکاژل در شرایط خلاه قرار گرفت. هدف از این کار از بین رفتن آب‌های جذب شده در سطح سیلیکاژل و افزایش تعداد سیلانول‌های موجود در سطح آن و فعال کردن سیلیکاژل بود. برای انجام واکنش موردنظر دو نکته مهم و ضروری وجود دارد. اول آن‌که واکنش باید تحت جو بی‌اثر از انجام گیرد و دوم آن‌که برای جلوگیری از خرد شدن ذره‌ها سیلیکاژل و در نتیجه تغییر سطح ویژه ذره‌های آن نباید از همزن مغناطیسی برای به هم خوردن واکنش استفاده نمود. درنتیجه به کمک پی‌پت پاستور جریان گاز ازت به داخل بالن واکنش انتقال داده شد و هم خوردن به روش ایجاد حباب‌های گاز ازت در سطح مخلوط واکنش صورت گرفت. بعد از پایان بازروانی، برای اطمینان از خارج شدن کلیه مولکول‌های CSC[4]A واکنش نداده عمل استخراج به وسیله سوکسله و با استفاده از حللال استون انجام شد. پس از پایان یافتن سوکسله کلیه حللال‌های شستشو جمع‌آوری شد و به کمک روتاری حلال‌ها پرانده شد.

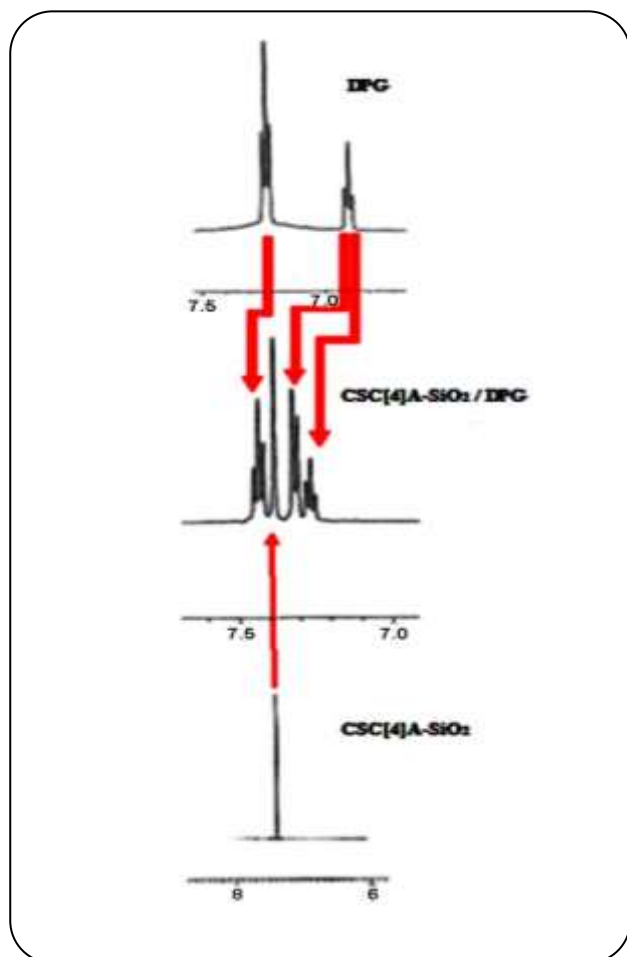
### نتیجه و بحث‌ها

#### بررسی برهمکنش کلروسولفونیل کالیکس [۴] آرن ثبت شده بر روی سیلیکاژل با DPG

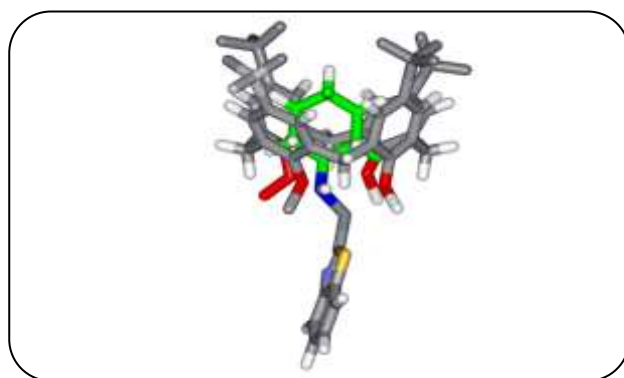
براساس نتیجه‌های به دست آمده دیده شد که سیلیکاژل استخلافدار شده با کلروسولفونیل کالیکس [۴] آرن برهمکنش داشته و می‌تواند برای آن نقش واکنشگر جابه‌جایی شیمیایی در NMR را داشته باشد.



شکل ۶ - ناحیه آریاتیک طیف  $^1\text{H-NMR}$  مخلوط  $\text{CSC[4]A-DMSO}$  در حال  $\text{CSC[4]A-SiO}_2$  و  $\text{CBS-SiO}_2$

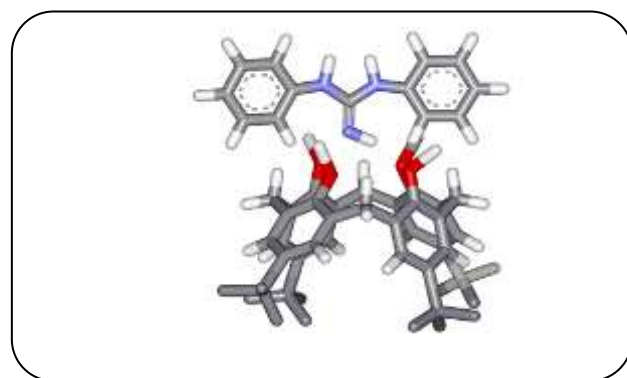


شکل ۴ - ناحیه آریاتیک طیف  $^1\text{H-NMR}$  مخلوط  $\text{CSC[4]A-DMSO}$  در حال  $\text{CSC[4]A-SiO}_2$  و  $\text{DPG-SiO}_2$



شکل ۷ - برهمکنش پیشنهادی بین  $\text{CBS}$  و  $\text{CSC[4]A-SiO}_2$

در ظاهر حلقه سیکلوهگزیل از طریق پایین حلقه به دورن حفره کالیکس آرن نفوذ کرده است درنتیجه از میزان انعطاف‌پذیری و تغییر در صورت‌بندی آن کاسته شده و تفکیک بسیار مشهودی در سیگنال‌های دیده شده از هیدورژن‌های حلقه سیکلوهگزیل



شکل ۵ - برهمکنش پیشنهادی بین  $\text{DPG}$  و  $\text{CSC[4]A-SiO}_2$

کمی جابه‌جایی پیدا کرده و پیک‌ها از یکدیگر به طور کامل تفکیک شده بودند (شکل ۶) که علت آن را می‌توان به ایجاد پیوند هیدروژنی بین گروه  $\text{NH}$  ترکیب  $\text{CBS}$  و گروه‌های  $\text{OH}$   $\text{CBS}$  در  $\text{CSC[4]A-SiO}_2$  نسبت داد. در مورد

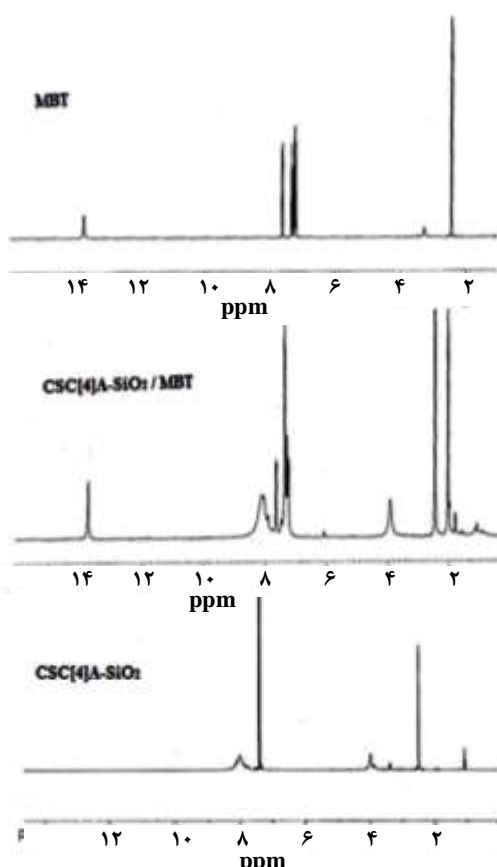
## بررسی برهمکنش کلروسولفونیل کالیکس[۴]آرن تثیت شده بر روی سیلیکاژل با MBT

طیف‌های به دست آمده عدم وجود برهمکنش مناسب میان ترکیب  $\text{CSC}[4]\text{A-SiO}_2$  و MBT را تأیید می‌کردند. (شکل ۸). محل کلیه پیک‌های مربوط به پروتون‌های ترکیب MBT و ترکیب  $\text{CSC}[4]\text{A-SiO}_2$  مخلوط  $\text{CSC}[4]\text{A-SiO}_2/\text{MBT}$  ثابت و بدون تغییر مانده بود. عدم پذیرش MBT توسط کالیکس آرن به دلیل نبود گروه مناسب از نظر اندازه بر روی گوگرد می‌باشد.

## نتیجه‌گیری

مشاهده شد که  $\text{CSC}[4]\text{A-SiO}_2$  می‌تواند به عنوان واکنشگر جابه‌جایی شیمیایی در NMR مورد استفاده قرار گیرد. نتیجه‌های به دست آمده در این مطالعه نشان داد که طیف  $^1\text{H-NMR}$   $^1\text{H-NMR}$  به ترکیب‌های CBS و DPG توسط کلروسولفونیل کالیکس [۴] آرن تثیت شده بر روی سیلیکاژل واضح‌تر شده و پیک‌های همپوشانی‌های کننده در طیف ازین رفتند.

براساس نتیجه‌های به دست آمده پیشنهاد می‌شود که برهمکنش‌های الکترواستاتیک و پیوندهای هیدروژنی بین گروه‌های  $\text{NH}$  هیدروکسیل در پایین حلقه  $\text{CSC}[4]\text{A-SiO}_2$  و گروه‌های موجود در مولکول‌های CBS و DPG و همچنین اندازه مناسب مولکول‌های مهمان عامل مهم و مؤثر در انجام این فرایند می‌باشد. همچنین براساس یافته‌های به دست آمده پیشنهاد می‌شود که عملکرد  $\text{CSC}[4]\text{A-SiO}_2$  به عنوان واکنشگر جابه‌جایی شیمیایی در NMR بر روی دسته گسترهای از ترکیب‌هایی که دارای پیچیدگی طیف NMR به دلیل همپوشانی هستند مورد بررسی قرار گیرد.



شکل ۸ - طیف  $^1\text{H-NMR}$  مخلوط  $\text{CSC}[4]\text{A-SiO}_2$  و  $\text{DMSO}$  در حال  $\text{CSC}[4]\text{A-SiO}_2$

دیده می‌شود. شاید علت اصلی برهمکنش مناسب CBS با  $\text{CSC}[4]\text{A-SiO}_2$  به دلیل همین مسئله (نفوذ حلقه سیکلوهگزیل در حفره کالیکس آرن) می‌باشد. به عبارتی CBS مهمان مناسب‌تری برای  $\text{CSC}[4]\text{A-SiO}_2$  می‌باشد.

تاریخ دریافت: ۱۳۹۶/۱۱/۱۶؛ تاریخ پذیرش: ۱۳۹۶/۱۱/۱۶

## مراجع

- [1] Ren J., Sherry, A.D.,  $^7\text{Li}$ ,  $^6\text{Li}$ ,  $^{23}\text{Na}$  and  $^{133}\text{Cs}$  Multinuclear NMR Studies of Adducts Formed with Shift Reagent, TmDOTP 5, *Inorg. Chim. Acta*, **246**: 331-341 (1996).
- [2] Wainer I.W., Tischler M.A., Sheinin E.B., Determination of Dextro and Levomethorphan Mixtures Using Chiral Lanthanide NMR Shift Reagents, *J. Pharm. Sci.*, **69**(4): 459-461 (1980).

- [3] Jaroszewski J.W., Olsson A., Determination of Enantiomeric Purity of Nicotine in Pharmaceutical Preparations by  $^{13}\text{C}$ -NMR in the Presence of a Chiral Lanthanide Shift Reagent, *J. Pharm. Biomed. Anal.*, **12**(3): 295-299 (1994).
- [4] Tanaka K., Nakai Y., Takahashi H., Efficient NMR Chiral Discrimination of Carboxylic Acids Using Rhombamine Macrocycles as Chiral Shift Reagent, *Tetrahedron: Asymmetry*, **22**: 178-184 (2011).
- [5] Kagawa M., Machida Y., Nishi H., Haginaka J., Enantiomeric Purity Determination of Acetyl-L-carnitine by NMR with Chiral Lanthanide Shift Reagents, *J. Pharm. Biomed. Anal.*, **38**: 918-923 (2005).
- [6] Arnaud G.F., Florini N., Caglioti L., Zucchi C., Palyi G., Fast Enantioselective Amino Acid Quantitative  $^{13}\text{C}$  NMR Determination by a Praseodymium Chiral Shift Reagent, *Tetrahedron: Asymmetry*, **20**: 1633-1636 (2009).
- [7] Ramasamy R., Castro M.M.C.A., Freitas D.M., Geraldes C.F.G.C., Lanthanide Complexes of Aminophosphonates as Shift Reagents for  $^7\text{Li}$  and  $^{23}\text{Na}$  NMR Studies in Biological Systems, *Biochim.*, **74**: 777-783 (1992).
- [8] Joseph-Nathan P., Abramo-Bruno D., Torres M.A., Structural Elucidation of Polymethoxyflavones from Shift Reagent Proton NMR Measurements, *Phytochem.*, **20**: 313-318 (1981).
- [9] Muller C.A., Market C., Teichert A.M., Pfaltz A., Mass Spectrometric Screening of Chiral Catalysts and Catalyst Mixtures, *Chem. Commun.*, **12**: 1607-1618 (2009).
- [10] Liu H.-L., Hou X.-L., Pu L., Enantioselective Precipitation and Solid-State Fluorescence Enhancement in the Recognition of  $\alpha$ -Hydroxycarboxylic Acids, *Angew. Chem. Int. Ed.*, **48**: 382-385 (2009).
- [11] Nieto S., Lynch V.M., Anslyn E.V., Kim H., Chin J., High-Throughput Screening of Identity, Enantiomeric Excess, and Concentration Using MLCT Transitions in CD Spectroscopy, *J. Am. Chem. Soc.*, **130**: 9232-9233 (2008).
- [12] Abato P., Seto C.T., An Enzymatic Method for Determining Enantiometric Excess, *J. Am. Chem. Soc.*, **123**: 9206-9207 (2001).
- [13] Lei X., Liu L., Chen X., Yu X., Ding L., Zhang A., Pattern-Based Recognition for Determination of Enantiomeric Excess, Using Chiral Auxiliary Induced Chemical Shift Perturbation NMR, *Org. Lett.*, **12**: 2540-2543 (2010).
- [14] Naziroglu H.N., Durmaz M., Bozkurt S., Yilmaz M., Sirit A., Application of L-proline Derivatives as Chiral Shift Reagents for Enantiomeric Recognition of Carboxylic Acids, *Chirality*, **23**: 463-471 (2011).
- [15] Liu L., Ye M., Hu X., Yu X., Zhang L., Lei X., Chiral Solving Agents for Carboxylic acids Based on the Salen Moiety, *Tetrahedron: Asymmetry*, **22**: 1667-1671 (2011).

- [16] He C., Zhang Q., Wang W.T., Lin L.L., Liu X.H., Feng X.M., *Enantioselective Recognition of  $\alpha$ -Hydroxycarboxylic Acids and N-Boc-Amino Acids by Counterion-Displacement Assays with a Chiral Nickel(II) Complex, Org. Lett.*, **13**: 804-807 (2011).
- [17] Reetz M.T., Becker M.H., Kuhling K.M., Holzwarth A., *Time-Resolved IR-Thermographic Detection and Screening of Enantioselectivity in Catalytic Reactions, Angew. Chem. Int. Ed.*, **37**: 2647-2650 (1998).
- [18] Silwa W., Koslowski C., “Calixarenes and Resorcinarenes: Synthesis, Properties and Applications”, Wiley-VCH, Verlag, (2009).
- [19] Gutsche C.D., “Calixarenes”, R. Soc. Chem, Cambridge, UK, (1989).
- [20] Leon S., Leigh D.A., Zerbetto F., *The Effect of Guest Inclusion on the Crystal Packing of p-tert-butylcalix-4-Arenes, Chem. Eur. J.*, 4854-4866 (2002).
- [21] Kobayashi K., Ishii K., Sakamoto S., Shirasaka T., Yamaguchi K., *Guest-Induced Assembly of Tetracarboxyl-Cavitand and Tetra(3-pyridyl)-Cavitand into a Heterodimeric Capsule via Hydrogen Bonds and CH–Halogen and/or CH–π Interaction: Control of the Orientation of the Encapsulated Guest, J. Am. Chem. Soc.*, **125**: 10615-10624 (2003).
- [22] Boehmer V., Calixarene – Makrocyclen Mit (fast) Unbegrenzten Möglichkeiten, *Angew. Chem.*, **107**: 785 (1995).
- [23] Ikeda A., Shinkai S., *Novel Cavity Design Using Calix[n]arene Skeletons: Toward Molecular Recognition and Metal Binding, Chem. Rev.*, **97**: 1713-1734 (1997).
- [24] Chawla H.M., Singh S.P., Sahu S.N., Upreti S., *Shaping the Cavity of Calixarene Architecture for Molecular Recognition: Synthesis and Conformational Properties of New Azocalix [4] Arenes, Tetrahedron*, **62**: 7854 (2006).
- [25] Mizani F., Majdi M., Taghvaei-Ganjali S., *Quantitative Monitoring of Cobalt ions by a Co<sup>2+</sup> Selective Electrode Based on a calix[4] Arene Derivative, Anal. Bioanal. Electrochem.*, **4**(5): 529-543 (2012).
- [26] Hosseini M., Rahimi M., Sadeghi H., Taghvaei-Ganjali S., Abkenar S., Ganjali M.R., *Determination of Hg(II) Ions in Water Samples by a Novel Hg(II) Sensor, Based on Calix[4]Arene Derivative, Int. J. Environ. Anal. Chem. (New York, NY [u.a.]: Gordon and Breach)*, **89**(6): 407-422 (2009).
- [27] Taghvaei-Ganjali S., Zadmard R., Zeyaei M., Rahnama K., Faridbod F., Ganjali M.R., *Synthesis of a New Calix[4]Arene and Its Application in Construction of a Highly Selective Silver Ion-Selective Membrane Electrode, Res. lett. Org. Chem. (New York, NY [u.a.]: Hindawi Publ. Corp.)*, 1-5 (2009).
- [28] Xiao X.Z., Feng Y.Q., Da S.L., Zhang Y., *Preparation and Evaluation of an End-Capped p-tert-Butyl-Calix[4]arene-Bonded-Silica Stationary Phase for Reversed-Phase High-Performance Liquid Chromatography, Anal. Lett.*, **33**: 3355 (2000).

- [29] Li L.S., Liu M., Da S.L., Feng Y.Q., *Studies on the Chromatographic behavior of Nucleosides and Bases on p-tert-butyl-calix[8]arene-bonded Silica Gel stationary Phase by HPLC*, *Talanta*, **63**: 433 (2004).
- [30] Li L.S., Da S.L., Feng Y.Q., Liu M., *Preparation and Characterization of a p-tert-butyl-calix[6]-1,4-benzocrown-4-bonded Silica Gel Stationary Phase for Liquid Chromatography*. *J.Chromatogr. A*, **53**: 1040 (2004).
- [31] Huai Q.Y., Zuo Y.M., *J. Liq. Study of the Retention Characteristics of Calix [4] arene bonded Silica Stationary Phase and Comparison with Common Phases for HPLC Using Linear Solvation*, *Chromatogr. Related Technol.*, **29**: 801 (2006).
- [32] Sliwka-Kaszynska M., Jaszczolt K., Hoczyk A., Rachon J., *1,3-Alternate 25,27-dibenzoiloxo-26,28-bis-[3-propyloxy]-calix[4]arene-bonded Silica Gel as a New Type of HPLC Stationary Phase*, *Talanta*, **68**: 1560 (2006).
- [33] Sokolie T., Menyes U., Roth U., Jira T. *J. Separation of Cis- and Trans-Isomers of Thioxanthene and Dibenz[b,e]Oxepin Derivatives on Calixarene- and Resorcinarene-Bonded High-Performance Liquid Chromatography Stationary Phases*, *Chromatogr. A*, **948**: 309- (2002).
- [34] Ji H.-F., Dabestani R., Brown G.M., *A Supramolecular Fluorescent Probe, Activated by Protons to Detect cesium and Potassium Ions, Mimics the Function of a Logic Gate*, *J. Am. Chem. Soc.*, **122**: 9306-9307 (2000).
- [35] Ch N.R., Kim M.Y., Kim Y.H., Choe J.-I., Chang S.-K., *New Hg<sup>2+</sup> Selective Fluoroionophores Derived from p-tert-butylcalix[4]arene-azacrown Ethers*, *J. Chem. Soc. Perkin Trans.*, **2**: 1193-1196 (2002).
- [36] Kim J.S., Shon O.J., Rim J.A., Kim S.K., Yoon J., *Molecular Taekowndo” Process via Fluorescence Change*, *J. Org. Chem.*, **67**: 2348-2351 (2002).
- [37] Lee J.Y., Kim S.K., Jung J.H., Kim J.S., *Bifunctional Fluorescent Calix [4] Arene Chemosensor for Both a Cation and an Anion*, *J. Org. Chem.*, **70**: 1463-1466 (2005).
- [38] Ludwig R., Fresenius` *J. Calixarenes in Analytical and Separation Chemistry*, *Anal. Chem.*, **367**: 103-128 (2000).
- [39] Katz A., Coasta P., Lam A.C.P., Notestein J.M., *The First Single-Step Immobilization of a Calix-[4]-Arene Onto the Surface of Silica*, *J. Chem. Mater.*, **14**: 3364-3368 (2002).
- [40] Tabakci M., Incl J., *Immobilization of Calix[6]areneBearing Carboxylic Acid and Amide Groups on Aminopropyl Silica Gel and Its Sorption Properties for Cr(VI)*, *Phenom. Macrocycl. Chem.*, **61**: 53-60 (2008).
- [41] Gubbuk I.H., Hatay I., Coskun A., Ersoz M., *Immobilization of Oxime Derivative on Silica Gel for the Preparation of New Adsorbent*, *J. Hazard. Mater.*, **172**: 1532-1537 (2009).
- [42] Huang H., Zhao C., Ji Y., Nie R., Zhou P., Zhang H., *Preparation, Characterization and Application of p-tert-butyl-calix[4]arene-sba-15 Mesoporous Silica Molecular Sieves*, *J. Hazard. Mater.*, **178**: 680-685 (2010).

- [43] Notestein J.M., Iglesia E., Katz A., **Grafted Metallocalixarenes as Single-Site Surface Organometallic Catalysts**, *J. Am. Chem. Soc.*, **126**: 16478-16486 (2004).
- [44] Cacciapaglia R., Casnati A., Mandolin L., Reinhoudt D.N., Salvio R., Sartori A., Ungaro R., **Di-and Trinuclear Zn<sup>2+</sup> Complexes of Calix [4] Arene Based Ligands as Catalysts of Acyl and Phosphoryl Transfer Reactions**, *J. Org. Chem.*, **70**: 624- (2005).
- [45] Struck O., Van Duynhoven J.P.M., Verboom W., Harkema S., Reinhoudt D.N., **Cavity Effect of Calix[4]Arenes in Electrophilic Aromatic Substitution Reactions**, *Chem. Commun.*, 1517-1518 (1996).
- [46] You J.-S., Yu X.-Q., Zhang G.-L., Xiang Q.-X., Lan J.-B., Xie R.-G., **Novel Chiral Imidazole Cyclophane Receptors: Synthesis and Enantioselective Recognition for Amino Acid Derivatives**, *Chem. Commun.*, 1816-1817 (2001).
- [47] Quintar A., Darbost U., Vocanson F., Pellet-Rostaing S., Lemaire M., **Synthesis of New Calix[4]arene Based Chiral Ligands Bearing β-Amino Alcohol Groups and Their Application in Asymmetric Transfer Hydrogenation**, *Tetrahedron:Asymmetry*, **18**: 1926-1933 (2007).
- [48] Schadel U., Sansone F., Casnati A., Ungaro R., **Synthesis of Upper Rim Calix[4]Arene Divalent Glycoclusters via Amide Bondconjugation**, *Tetrahedron*, **61**: 1149-1154 (2005).
- [49] Sansone F., Dedic M., Donofrio G., Rivetti C., Baldini L., Casnati A., Cellai S., Ungaro R., **DNA Condensation and Cell Transfection Properties of Guanidinium Calixarenes Dependence on Macrocycle Lipophilicity, Size, and Conformation**, *J. Am. Chem. Soc.*, **128**: 14528-14536 (2006).
- [50] Dvorak L., Lederer T., Jirku V., Masak J., Novak L., **Removal of Aniline, Cyanides and Diphenylguanidine from Industrial Wastewater Using a Full-Scale Moving Bed Biofilm Reactor**, *Process Biochem.*, **49**: 102-109 (2014).
- [51] Sales J.A.A., Faira P.F., Prado A.G.S., Airoldi C., **Attachment of 2- Aminomethylpyridine Molecule onto Grafted Silica Gel Surface and Its Ability in Chelating Cations**, *Polyhedron*, **23**: 719-725 (2004).
- [52] Gutsche C.D., Iqbal M., p-tert-butylcalix [4]arene, *Org. Synth.*, **8**: 75-78 (1993).
- [53] Coquiere D., Cadeau H., Rondelez Y., Giorgi M., Reinaud O., **Ipso-Chlorosulfonylation of Calixarenes: A Powerful Tool for the Selective Functionalization of the Large Rim**, *J. Org. Chem.*, **71**: 4059-4065 (2006).
- [54] Taghvaei-Ganjali S., Zadmard R., Sabertehrani M., **Immobilization of Chlorosulfonyl-Calix[4]Arene onto the Surface of Silica Gel Through the Directly Esterification**, *Appl. Surf. Sci.*, **258**: 5925-5932 (2012).